

$^{154}\text{Sm}(^{34}\text{S},4n\gamma),^{172}\text{Yb}(^{16}\text{O},4n\gamma)$     **1990Ca22,1987Ri04,1986Ga21**

Type	Author	History
Full Evaluation	Coral M. Baglin	Citation
		NDS 111,275 (2010)

**1990Ca22:**  $^{154}\text{Sm}(^{34}\text{S},4n\gamma)$ , E( $^{34}\text{S}$ )=163 MeV,  $^{172}\text{Yb}(^{16}\text{O},4n\gamma)$ , E( $^{16}\text{O}$ )=91 MeV measured E $\gamma$ , I $\gamma$ ,  $\gamma(\theta)$ ,  $\gamma\gamma$ -coin, array of Compton-suppressed Ge detectors. See also **1987Ri04**.

**1986Ga21:**  $^{154}\text{Sm}(^{34}\text{S},4n\gamma)$ , E( $^{34}\text{S}$ )=160 MeV, measured lifetimes of levels, recoil distance technique (27 target to stopper distances); Ge detector, 8-element large NaI sum spectrometer.

 $^{184}\text{Pt}$  Levels

E(level) <sup>†</sup>	J <sup>π</sup> #	T <sub>1/2</sub> <sup>‡</sup>	Comments
0.0 <sup>&amp;</sup>	0 <sup>+</sup>		
162.6 <sup>&amp;</sup> 9	2 <sup>+</sup>	403 ps 15	
435.3 <sup>&amp;</sup> 11	4 <sup>+</sup>	25.3 ps 9	
797.7 <sup>&amp;</sup> 14	6 <sup>+</sup>	6.1 ps 3	
843.9 <sup>f</sup> 9	2 <sup>+</sup>		
1229.9 <sup>&amp;</sup> 16	8 <sup>+</sup>	2.15 ps 14	
1234.1 <sup>f</sup> 10	4 <sup>+</sup>		
1305.9 <sup>g</sup> 13	5 <sup>+</sup>		
1675.3 <sup>d</sup> 12	5 <sup>-</sup>		
1706.1 <sup>&amp;</sup> 17	10 <sup>+</sup>	1.18 ps 14	
1729.9 <sup>g</sup> 17	7 <sup>+</sup>		
1793.5 <sup>e</sup> 13	6 <sup>-</sup>		
1843.4 <sup>b</sup> 19	8 <sup>-</sup>	1.01 ms 5	T <sub>1/2</sub> : from Adopted Levels.
1914.6 <sup>d</sup> 13	7 <sup>-</sup>		
2021.1 <sup>c</sup> 20	9 <sup>-</sup>		
2074.7 <sup>e</sup> 14	8 <sup>-</sup>		
2203.7 <sup>&amp;</sup> 16	12 <sup>+</sup>	1.59 ps 14	
2219.9 <sup>b</sup> 20	10 <sup>-</sup>		
2229.3 <sup>d</sup> 15	9 <sup>-</sup>		
2438.8 <sup>c</sup> 21	11 <sup>-</sup>		
2450.3 <sup>e</sup> 15	10 <sup>-</sup>		
2592.0 <sup>a</sup> 17	11 <sup>-</sup>		
2623.2 <sup>d</sup> 15	11 <sup>-</sup>		
2676.7 <sup>b</sup> 22	12 <sup>-</sup>		
2725.9 <sup>&amp;</sup> 17	14 <sup>+</sup>	1.39 ps 14	
2909.9 <sup>e</sup> 16	12 <sup>-</sup>		
2931.3 <sup>c</sup> 22	13 <sup>-</sup>		
3080.8 <sup>a</sup> 16	13 <sup>-</sup>		
3093.9 <sup>d</sup> 16	13 <sup>-</sup>		
3200.6 <sup>b</sup> 22	14 <sup>-</sup>		
3281.2 <sup>&amp;</sup> 19	16 <sup>+</sup>	1.18 ps 14	
3432.9 <sup>e</sup> 19	14 <sup>-</sup>		
3439.3 <sup>a</sup> 17	15 <sup>-</sup>		
3479.2 <sup>c</sup> 23	15 <sup>-</sup>		
3595.6 <sup>@</sup> 20	16 <sup>(+)</sup>		
3610.2 <sup>d</sup> 17	15 <sup>-</sup>		
3766.6 <sup>b</sup> 23	16 <sup>-</sup>		
3867.9 <sup>&amp;</sup> 20	18 <sup>+</sup>	1.7 ps 10	T <sub>1/2</sub> : includes contribution from side-feeding lifetime.

Continued on next page (footnotes at end of table)

---

$^{154}\text{Sm}({}^{34}\text{S},4n\gamma)$ ,  $^{172}\text{Yb}({}^{16}\text{O},4n\gamma)$     1990Ca22, 1987Ri04, 1986Ga21 (continued)

---

$^{184}\text{Pt}$  Levels (continued)

E(level) <sup>†</sup>	J <sup>π</sup> #	Comments
3901.2 <sup>a</sup> 19	17 <sup>-</sup>	$J^\pi$ : (18 <sup>+</sup> ) suggested In 1986Ga21.
3986.9 <sup>e</sup> 22	16 <sup>-</sup>	
4056.8 <sup>c</sup> 24	17 <sup>-</sup>	
4171.3 <sup>@</sup> 20	18 <sup>(+)</sup>	
4174.4 <sup>d</sup> 20	17 <sup>-</sup>	
4355.6 <sup>b</sup> 24	18 <sup>-</sup>	
4437.8 <sup>a</sup> 20	19 <sup>-</sup>	
4492.5 <sup>&amp;</sup> 21	20 <sup>+</sup>	
4561.9 <sup>e</sup> 24	18 <sup>-</sup>	
4660.2 <sup>c</sup> 25	19 <sup>-</sup>	
4788.0 <sup>d</sup> 23	19 <sup>-</sup>	
4815.1 <sup>@</sup> 21	20 <sup>(+)</sup>	
4980.7 <sup>b</sup> 25	20 <sup>-</sup>	
5012.8 <sup>a</sup> 22	21 <sup>-</sup>	
5166.1 <sup>&amp;</sup> 23	22 <sup>+</sup>	
5314 <sup>c</sup> 3	21 <sup>-</sup>	
5470.8 <sup>d</sup> 25	21 <sup>-</sup>	
5510.3 <sup>@</sup> 23	22 <sup>(+)</sup>	
5614.1 <sup>a</sup> 24	23 <sup>-</sup>	
5667 <sup>b</sup> 3	(22 <sup>-</sup> )	
5896.1 <sup>&amp;</sup> 25	24 <sup>+</sup>	
6035 <sup>c</sup> 3	(23 <sup>-</sup> )	
6259 <sup>a</sup> 3	25 <sup>-</sup>	
6685 <sup>&amp;</sup> 3	(26 <sup>+</sup> )	
6962 <sup>a</sup> 3	27 <sup>-</sup>	
7534 <sup>&amp;</sup> 3	(28 <sup>+</sup> )	
7733 <sup>a</sup> 3	(29 <sup>-</sup> )	

<sup>†</sup> From least-squares fit to  $E\gamma$ , assigning 1 keV uncertainty to all data.

<sup>‡</sup> From RDM (1986Ga21), except as noted.

<sup>#</sup> Authors' suggested values (1990Ca22).

<sup>@</sup> Band(A):  $\pi=(+)$  band.

<sup>&</sup> Band(B):  $K^\pi=0^+$  g.s. band.

<sup>a</sup> Band(C):  $K^\pi=0^-$  band. Probable Configuration=( $\pi$  1/2[660])-( $\pi$  1/2[541]), the only  $\pi=-$  two-particle configuration which could account for the initial alignment of 10  $\hbar$  (1990Ca22). No signature partner band observed.

<sup>b</sup> Band(D):  $K^\pi=8^-$ ,  $\alpha=0$  band. Probable Configuration=( $\nu$  9/2[624])+( $\nu$  7/2[514]). Alignment 4-5  $\hbar$ ; No signature splitting observed.

<sup>c</sup> Band(d):  $K^\pi=8^-$ ,  $\alpha=1$  band. Probable Configuration=( $\nu$  9/2[624])+( $\nu$  7/2[514]). See comment on signature partner band.

<sup>d</sup> Band(e):  $K^\pi=5^-$ ,  $\alpha=1$  band. Probable Configuration=( $\nu$  9/2[624])+( $\nu$  1/2[521]). Alignment 4-5  $\hbar$ ; signature splitting observed, suggesting contribution from a low-K orbital such As ( $\nu$  3p<sub>3/2</sub>) (1990Ca22).

<sup>e</sup> Band(E):  $K^\pi=5^-$ ,  $\alpha=0$  band. Probable Configuration=( $\nu$  9/2[624])+( $\nu$  1/2[521]). See comment on signature partner band.

<sup>f</sup> Band(F):  $K^\pi=0^+$  band.

<sup>g</sup> Band(G):  $K^\pi=2^+$   $\gamma$ -vibrational band.

$^{154}\text{Sm}(\text{<sup>34</sup>S,4n}\gamma), \text{<sup>172</sup>Yb}(\text{<sup>16</sup>O,4n}\gamma)$  **1990Ca22,1987Ri04,1986Ga21 (continued)** $\gamma(^{184}\text{Pt})$ 

$E_\gamma^\dagger$	$I_\gamma^\dagger$	$E_i(\text{level})$	$J_i^\pi$	$E_f$	$J_f^\pi$	Mult. <sup>‡</sup>	$a^\#$	Comments
118.1	2.0 2	1793.5	6 <sup>-</sup>	1675.3	5 <sup>-</sup>	D+Q		Mult.: $A_2=-0.9$ 3, $A_4=+0.24$ 2I ( <a href="#">1990Ca22</a> ). Mult.: $A_2=-0.6$ 4, $A_4=-0.1$ 3 ( <a href="#">1990Ca22</a> ).
121.0	1.5 2	1914.6	7 <sup>-</sup>	1793.5	6 <sup>-</sup>	D+Q		
154.6	1.4 3	2229.3	9 <sup>-</sup>	2074.7	8 <sup>-</sup>			
160.0	1.6 4	2074.7	8 <sup>-</sup>	1914.6	7 <sup>-</sup>			
162.8	64.0 4	162.6	2 <sup>+</sup>	0.0	0 <sup>+</sup>	[E2]	0.740	
172.9		2623.2	11 <sup>-</sup>	2450.3	10 <sup>-</sup>			
177.7	5.8 I	2021.1	9 <sup>-</sup>	1843.4	8 <sup>-</sup>	D+Q		Mult.: $A_2=-0.86$ 4, $A_4=+0.1$ 3 ( <a href="#">1990Ca22</a> ). Mult.: $A_2=-0.60$ 3, $A_4=+0.05$ 3 ( <a href="#">1990Ca22</a> ).
198.7	6.6 I	2219.9	10 <sup>-</sup>	2021.1	9 <sup>-</sup>	D+Q		
218.8	3.3 4	2438.8	11 <sup>-</sup>	2219.9	10 <sup>-</sup>			
221.0	0.7 2	2450.3	10 <sup>-</sup>	2229.3	9 <sup>-</sup>			
238.0	2.4 I	2676.7	12 <sup>-</sup>	2438.8	11 <sup>-</sup>	D+Q		Mult.: $A_2=-0.84$ 5, $A_4=+0.09$ 5 ( <a href="#">1990Ca22</a> ). Mult.: $A_2=+0.15$ 4, $A_4=+0.05$ 5 ( <a href="#">1990Ca22</a> ).
239.5	2.3 I	1914.6	7 <sup>-</sup>	1675.3	5 <sup>-</sup>			Mult.: $A_2=-0.56$ 12, $A_4=+0.07$ 10 ( <a href="#">1990Ca22</a> ). Mult.: $A_2=-0.53$ 14, $A_4=+0.08$ 11 ( <a href="#">1990Ca22</a> ).
254.5	1.7 3	2931.3	13 <sup>-</sup>	2676.7	12 <sup>-</sup>	D+Q		Mult.: $A_2=+0.34$ I, $A_4=-0.12$ I ( <a href="#">1990Ca22</a> ); not M2 from RUL.
269.3	3.4 2	3200.6	14 <sup>-</sup>	2931.3	13 <sup>-</sup>	D+Q		Mult.: $A_2=-0.51$ 20, $A_4=+0.34$ 17 ( <a href="#">1990Ca22</a> ). Mult.: $A_2=+0.12$ 25, $A_4=+0.11$ 13 ( <a href="#">1990Ca22</a> ).
272.8	100.0 3	435.3	4 <sup>+</sup>	162.6	2 <sup>+</sup>	E2		Mult.: $A_2=-0.26$ 13, $A_4=-0.04$ 14 ( <a href="#">1990Ca22</a> ). Mult.: $A_2=-0.96$ 7, $A_4=+0.25$ 7 ( <a href="#">1990Ca22</a> ). Mult.: $A_2=-0.80$ 8, $A_4=-0.02$ 8 ( <a href="#">1990Ca22</a> ).
278.6	2.2 2	3479.2	15 <sup>-</sup>	3200.6	14 <sup>-</sup>	D+Q		Mult.: $A_2=+0.36$ 5, $A_4=0.00$ 6 ( <a href="#">1990Ca22</a> ). Mult.: $A_2=-0.29$ 11, $A_4=-0.07$ 11 ( <a href="#">1990Ca22</a> ).
281.1	2.7 2	2074.7	8 <sup>-</sup>	1793.5	6 <sup>-</sup>	(Q)		
286.7	1.0 I	2909.9	12 <sup>-</sup>	2623.2	11 <sup>-</sup>	D+Q		
287.4	1.6 I	3766.6	16 <sup>-</sup>	3479.2	15 <sup>-</sup>	D+Q		
290.2	1.4 I	4056.8	17 <sup>-</sup>	3766.6	16 <sup>-</sup>	D+Q		
298.8		4355.6	18 <sup>-</sup>	4056.8	17 <sup>-</sup>			
303.4	2.7 I	4171.3	18 <sup>(+)</sup>	3867.9	18 <sup>+</sup>			Mult.: $A_2=+0.67$ 16, $A_4=-0.08$ 16 ( <a href="#">1990Ca22</a> ). Mult.: $A_2=+0.43$ 8, $A_4=+0.12$ 9 ( <a href="#">1990Ca22</a> ).
304.6	1.3 I	4660.2	19 <sup>-</sup>	4355.6	18 <sup>-</sup>	D+Q		Mult.: $A_2=+0.33$ 8, $A_4=+0.03$ 7 ( <a href="#">1990Ca22</a> ). Mult.: $A_2=+0.34$ I, $A_4=-0.09$ I ( <a href="#">1990Ca22</a> ); not M2 from RUL.
314.3	3.4 3	3595.6	16 <sup>(+)</sup>	3281.2	16 <sup>+</sup>			
314.7	7.4 3	2229.3	9 <sup>-</sup>	1914.6	7 <sup>-</sup>			
320.5	0.5 I	4980.7	20 <sup>-</sup>	4660.2	19 <sup>-</sup>			
322.7	1.1 I	4815.1	20 <sup>(+)</sup>	4492.5	20 <sup>+</sup>	D+Q		
344.3	1.1 I	5510.3	22 <sup>(+)</sup>	5166.1	22 <sup>+</sup>			
345.3	2.3 4	3439.3	15 <sup>-</sup>	3093.9	13 <sup>-</sup>	(Q)		
355.1	1.5 5	3080.8	13 <sup>-</sup>	2725.9	14 <sup>+</sup>			
358.6	5.4 9	3439.3	15 <sup>-</sup>	3080.8	13 <sup>-</sup>	Q		
362.4	90.0 4	797.7	6 <sup>+</sup>	435.3	4 <sup>+</sup>	E2		
375.7	3.3 9	2450.3	10 <sup>-</sup>	2074.7	8 <sup>-</sup>			
376.4	4.4 3	2219.9	10 <sup>-</sup>	1843.4	8 <sup>-</sup>			
388.4	4.2 4	2592.0	11 <sup>-</sup>	2203.7	12 <sup>+</sup>			
390.0	1.5 5	1234.1	4 <sup>+</sup>	843.9	2 <sup>+</sup>			
393.8	7.0 I	2623.2	11 <sup>-</sup>	2229.3	9 <sup>-</sup>			Mult.: $A_2=+0.23$ 3, $A_4=-0.09$ 3 ( <a href="#">1990Ca22</a> ). Mult.: $A_2=+0.24$ 3, $A_4=+0.16$ 3 ( <a href="#">1990Ca22</a> ).
417.8	4.6 I	2438.8	11 <sup>-</sup>	2021.1	9 <sup>-</sup>	(Q)		
424	1.5 2	1729.9	7 <sup>+</sup>	1305.9	5 <sup>+</sup>			
432.3	91.7 4	1229.9	8 <sup>+</sup>	797.7	6 <sup>+</sup>	E2		
441.2	5.4 2	1675.3	5 <sup>-</sup>	1234.1	4 <sup>+</sup>	D		
456.8	4.8 3	2676.7	12 <sup>-</sup>	2219.9	10 <sup>-</sup>			
457.6	2.6 7	3080.8	13 <sup>-</sup>	2623.2	11 <sup>-</sup>			
459.5	4.3 I	2909.9	12 <sup>-</sup>	2450.3	10 <sup>-</sup>	Q		
461.9	16.3 2	3901.2	17 <sup>-</sup>	3439.3	15 <sup>-</sup>	Q		
470.7	3.1 2	3093.9	13 <sup>-</sup>	2623.2	11 <sup>-</sup>	Q		
476.2	82.1 3	1706.1	10 <sup>+</sup>	1229.9	8 <sup>+</sup>	E2		
487.6	1.2 I	1793.5	6 <sup>-</sup>	1305.9	5 <sup>+</sup>			
488 <sup>@</sup>	1.0 I	3080.8	13 <sup>-</sup>	2592.0	11 <sup>-</sup>			
492.5	5.6 I	2931.3	13 <sup>-</sup>	2438.8	11 <sup>-</sup>	Q		Mult.: $A_2=+0.35$ 3, $A_4=-0.07$ 3 ( <a href="#">1990Ca22</a> ).

Continued on next page (footnotes at end of table)

$^{154}\text{Sm}(^{34}\text{S},4n\gamma), ^{172}\text{Yb}(^{16}\text{O},4n\gamma)$  **1990Ca22,1987Ri04,1986Ga21 (continued)** $\gamma(^{184}\text{Pt})$  (continued)

$E_\gamma^\dagger$	$I_\gamma^\dagger$	$E_i(\text{level})$	$J_i^\pi$	$E_f$	$J_f^\pi$	Mult. <sup>‡</sup>	$\alpha^\#$	Comments
497.6	79.0 4	2203.7	12 <sup>+</sup>	1706.1	10 <sup>+</sup>	E2		Mult.: Q from $A_2=+0.31$ 1, $A_4=-0.06$ 1 ( <b>1990Ca22</b> ); not M2 from RUL.
502	1.0 5	3093.9	13 <sup>-</sup>	2592.0	11 <sup>-</sup>			
516.3	3.0 3	3610.2	15 <sup>-</sup>	3093.9	13 <sup>-</sup>			
522.3	69.3 3	2725.9	14 <sup>+</sup>	2203.7	12 <sup>+</sup>			
523@		3432.9	14 <sup>-</sup>	2909.9	12 <sup>-</sup>			
523.8		3200.6	14 <sup>-</sup>	2676.7	12 <sup>-</sup>			
529.4	2.0 4	3610.2	15 <sup>-</sup>	3080.8	13 <sup>-</sup>			
536.7	21.0 1	4437.8	19 <sup>-</sup>	3901.2	17 <sup>-</sup>	Q		Mult.: $A_2=+0.26$ 1, $A_4=-0.08$ 1 ( <b>1990Ca22</b> ).
548.0	5.7 4	3479.2	15 <sup>-</sup>	2931.3	13 <sup>-</sup>			
554@		3986.9	16 <sup>-</sup>	3432.9	14 <sup>-</sup>			
555.3	50.4 3	3281.2	16 <sup>+</sup>	2725.9	14 <sup>+</sup>	E2		Mult.: Q from $A_2=+0.34$ 1, $A_4=-0.08$ 1 ( <b>1990Ca22</b> ); not M2 from RUL.
564.2	5.0 2	4174.4	17 <sup>-</sup>	3610.2	15 <sup>-</sup>	Q		Mult.: $A_2=+0.37$ 7, $A_4=-0.10$ 7 ( <b>1990Ca22</b> ).
566.1	3.1 3	3766.6	16 <sup>-</sup>	3200.6	14 <sup>-</sup>			
569.8	4.7 2	4437.8	19 <sup>-</sup>	3867.9	18 <sup>+</sup>			
575@		4561.9	18 <sup>-</sup>	3986.9	16 <sup>-</sup>			see comment on 575.7 $\gamma$ .
575.0		5012.8	21 <sup>-</sup>	4437.8	19 <sup>-</sup>	[E2]	0.01775	see comment on 575.7 $\gamma$ .
575.7	<18.8	4171.3	18 <sup>(+)</sup>	3595.6	16 <sup>(+)</sup>			$I\gamma=18.8$ 2, $A_2=+0.30$ 2, $A_4=-0.09$ 2 ( <b>1990Ca22</b> ) for triplet that is probably dominated by this transition.
577.6	4.1 3	4056.8	17 <sup>-</sup>	3479.2	15 <sup>-</sup>			
586.8	34.4 2	3867.9	18 <sup>+</sup>	3281.2	16 <sup>+</sup>	Q		Mult.: $A_2=+0.31$ 1, $A_4=-0.07$ 1 ( <b>1990Ca22</b> ).
589.0		4355.6	18 <sup>-</sup>	3766.6	16 <sup>-</sup>			
601.3	14.3 2	5614.1	23 <sup>-</sup>	5012.8	21 <sup>-</sup>	Q		Mult.: $A_2=+0.29$ 3, $A_4=-0.07$ 3 ( <b>1990Ca22</b> ).
603.4	1.7 4	4660.2	19 <sup>-</sup>	4056.8	17 <sup>-</sup>			
613.5		1843.4	8 <sup>-</sup>	1229.9	8 <sup>+</sup>			
613.6	3.6 3	4788.0	19 <sup>-</sup>	4174.4	17 <sup>-</sup>			
620.1	7.2 3	3901.2	17 <sup>-</sup>	3281.2	16 <sup>+</sup>			
624.6	22.2 1	4492.5	20 <sup>+</sup>	3867.9	18 <sup>+</sup>	Q		Mult.: $A_2=+0.31$ 1, $A_4=-0.07$ 1 ( <b>1990Ca22</b> ).
625.1	1.6 2	4980.7	20 <sup>-</sup>	4355.6	18 <sup>-</sup>			
643.7		4815.1	20 <sup>(+)</sup>	4171.3	18 <sup>(+)</sup>			
644.4	9.9 1	6259	25 <sup>-</sup>	5614.1	23 <sup>-</sup>			Mult.: $A_2=+0.17$ 3, $A_4=+0.11$ 2 ( <b>1990Ca22</b> ); not consistent with E2 character implied by authors' level scheme.
653.8	1.2 2	5314	21 <sup>-</sup>	4660.2	19 <sup>-</sup>			
673.7	11.2 1	5166.1	22 <sup>+</sup>	4492.5	20 <sup>+</sup>	Q		Mult.: $A_2=+0.23$ 2, $A_4=-0.08$ 2 ( <b>1990Ca22</b> ).
682.8	1.2 1	5470.8	21 <sup>-</sup>	4788.0	19 <sup>-</sup>	Q		Mult.: $A_2=+0.37$ 21, $A_4=-0.19$ 20 ( <b>1990Ca22</b> ).
686.7	1.2 2	5667	(22 <sup>-</sup> )	4980.7	20 <sup>-</sup>			
695.1		5510.3	22 <sup>(+)</sup>	4815.1	20 <sup>(+)</sup>			
703.5	2.1 1	6962	27 <sup>-</sup>	6259	25 <sup>-</sup>	Q		Mult.: $A_2=+0.22$ 11, $A_4=-0.14$ 11 ( <b>1990Ca22</b> ).
713.4	8.5 1	3439.3	15 <sup>-</sup>	2725.9	14 <sup>+</sup>	(E1)	0.00400	Mult.: $A_2=-0.25$ 3, $A_4=+0.02$ 3 ( <b>1990Ca22</b> ). Pure $\Delta J=1$ ; if $\Delta\pi=\text{No}$ , some Q admixture would Be expected, so $\Delta\pi=(\text{yes})$ is assigned.
720.6	0.8 1	6035	(23 <sup>-</sup> )	5314	21 <sup>-</sup>			Mult.: $A_2=+0.16$ 6, $A_4=-0.04$ 6 ( <b>1990Ca22</b> ).
730.0	3.1 1	5896.1	24 <sup>+</sup>	5166.1	22 <sup>+</sup>	(Q)		
770.5		7733	(29 <sup>-</sup> )	6962	27 <sup>-</sup>			
788.9	1.1 2	6685	(26 <sup>+</sup> )	5896.1	24 <sup>+</sup>			
798.9	1.4 1	1234.1	4 <sup>+</sup>	435.3	4 <sup>+</sup>	D+Q		Mult.: $A_2=+0.40$ 18, $A_4=-0.06$ 16 ( <b>1990Ca22</b> ).
843.7		843.9	2 <sup>+</sup>	0.0	0 <sup>+</sup>			
849.4		7534	(28 <sup>+</sup> )	6685	(26 <sup>+</sup> )			
870.5	1.4 1	1305.9	5 <sup>+</sup>	435.3	4 <sup>+</sup>	D+Q		Mult.: $A_2=+0.25$ 15, $A_4=+0.32$ 14 ( <b>1990Ca22</b> ).
877.1	2.3 1	3080.8	13 <sup>-</sup>	2203.7	12 <sup>+</sup>	D		Mult.: $A_2=-0.08$ 10, $A_4=+0.13$ 10 ( <b>1990Ca22</b> ).
890.0		3093.9	13 <sup>-</sup>	2203.7	12 <sup>+</sup>			
1071.6	2.0 1	1234.1	4 <sup>+</sup>	162.6	2 <sup>+</sup>	Q		Mult.: $A_2=+0.27$ 10, $A_4=-0.08$ 10 ( <b>1990Ca22</b> ).
1240.0	5.5 7	1675.3	5 <sup>-</sup>	435.3	4 <sup>+</sup>			

Continued on next page (footnotes at end of table)

---

 $^{154}\text{Sm}({}^{34}\text{S},4n\gamma)$ ,  $^{172}\text{Yb}({}^{16}\text{O},4n\gamma)$     **1990Ca22,1987Ri04,1986Ga21 (continued)** $\gamma(^{184}\text{Pt})$  (continued)

<sup>†</sup> From [1990Ca22](#), except as noted.

<sup>‡</sup> From  $\gamma(\theta)$ , except as noted.

<sup>#</sup> Total theoretical internal conversion coefficients, calculated using the BrIcc code ([2008Ki07](#)) with Frozen orbital approximation based on  $\gamma$ -ray energies, assigned multipolarities, and mixing ratios, unless otherwise specified.

<sup>@</sup> Placement of transition in the level scheme is uncertain.

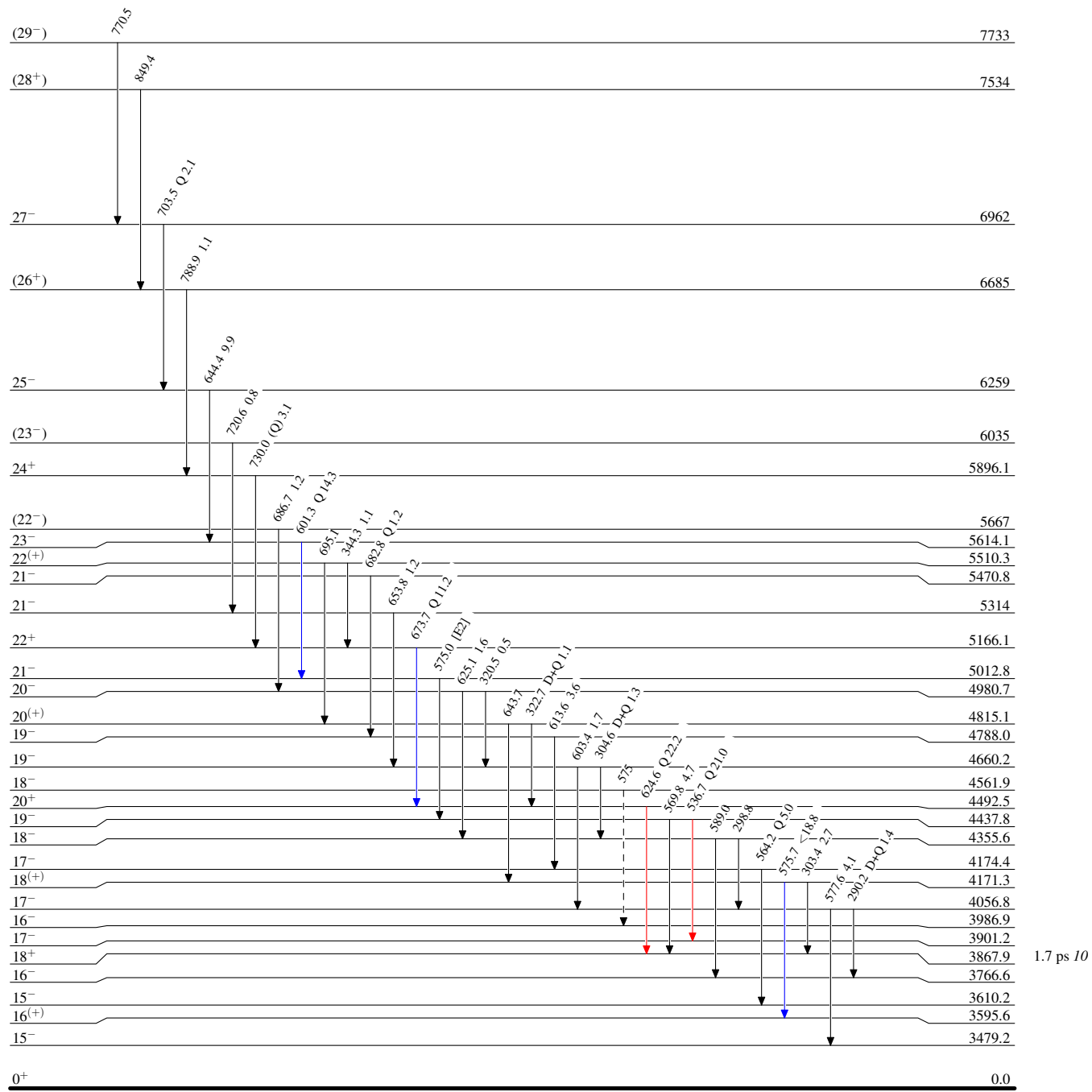
$^{154}\text{Sm}(^{34}\text{S},4\text{n}\gamma), ^{172}\text{Yb}(^{16}\text{O},4\text{n}\gamma)$     1990Ca22, 1987Ri04, 1986Ga21

Legend

## Level Scheme

Intensities: Relative  $I\gamma$  from  $^{154}\text{Sm}(^{34}\text{S},3\text{n}\gamma)$ ,  $E=163$  MeV

- $I\gamma < 2\% \times I_{\gamma}^{\max}$
- $I\gamma < 10\% \times I_{\gamma}^{\max}$
- $I\gamma > 10\% \times I_{\gamma}^{\max}$
- - - - - →  $\gamma$  Decay (Uncertain)



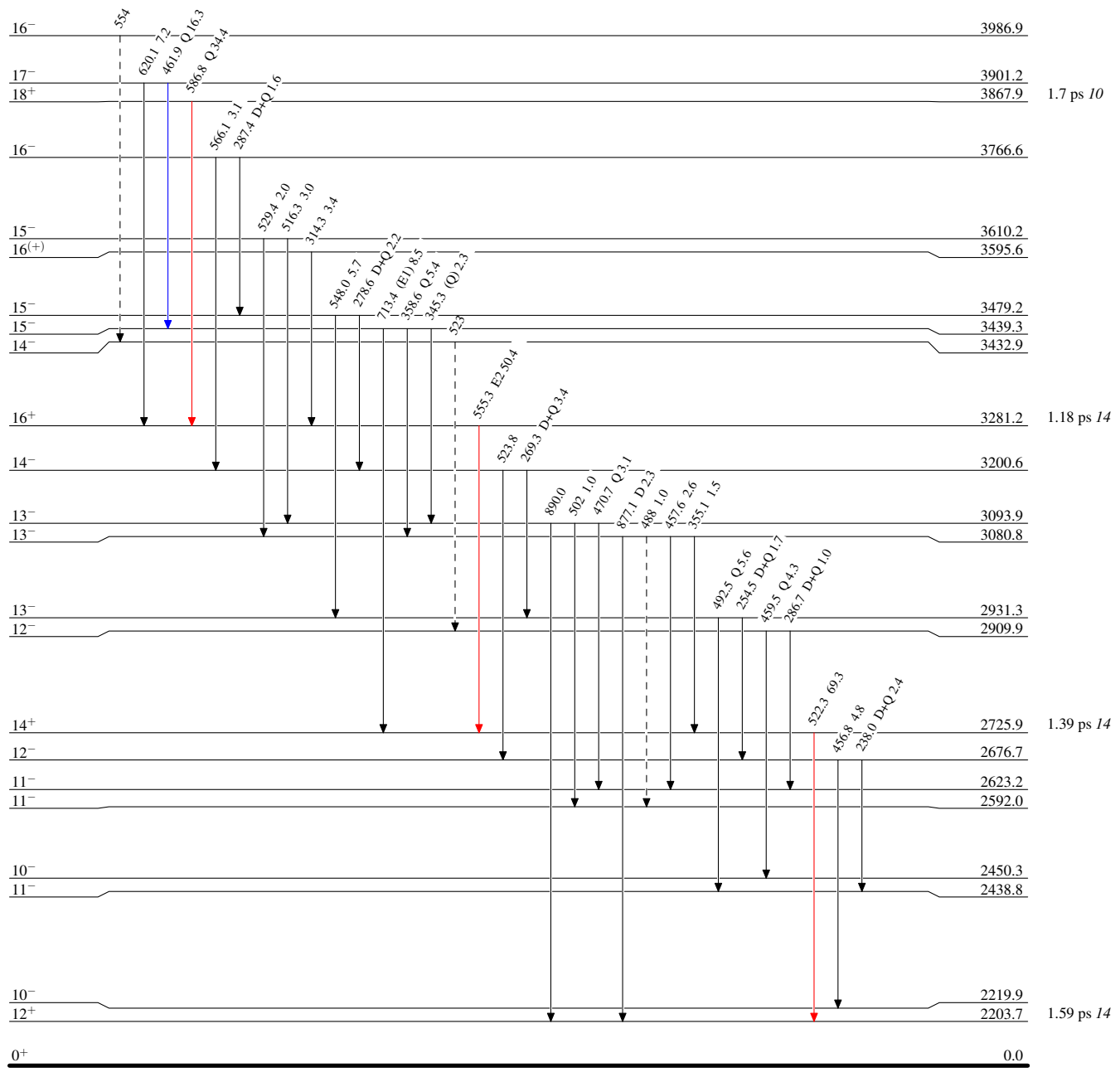
$^{154}\text{Sm}(^{34}\text{S},4n\gamma), ^{172}\text{Yb}(^{16}\text{O},4n\gamma)$       1990Ca22, 1987Ri04, 1986Ga21

Legend

## Level Scheme (continued)

Intensities: Relative  $I_\gamma$  from  $^{154}\text{Sm}(^{34}\text{S},3n\gamma)$ , E=163 MeV

- $\longrightarrow$   $I_\gamma < 2\% \times I_{\gamma}^{\max}$
- $\longrightarrow$   $I_\gamma < 10\% \times I_{\gamma}^{\max}$
- $\longrightarrow$   $I_\gamma > 10\% \times I_{\gamma}^{\max}$
- $\dashrightarrow$   $\gamma$  Decay (Uncertain)



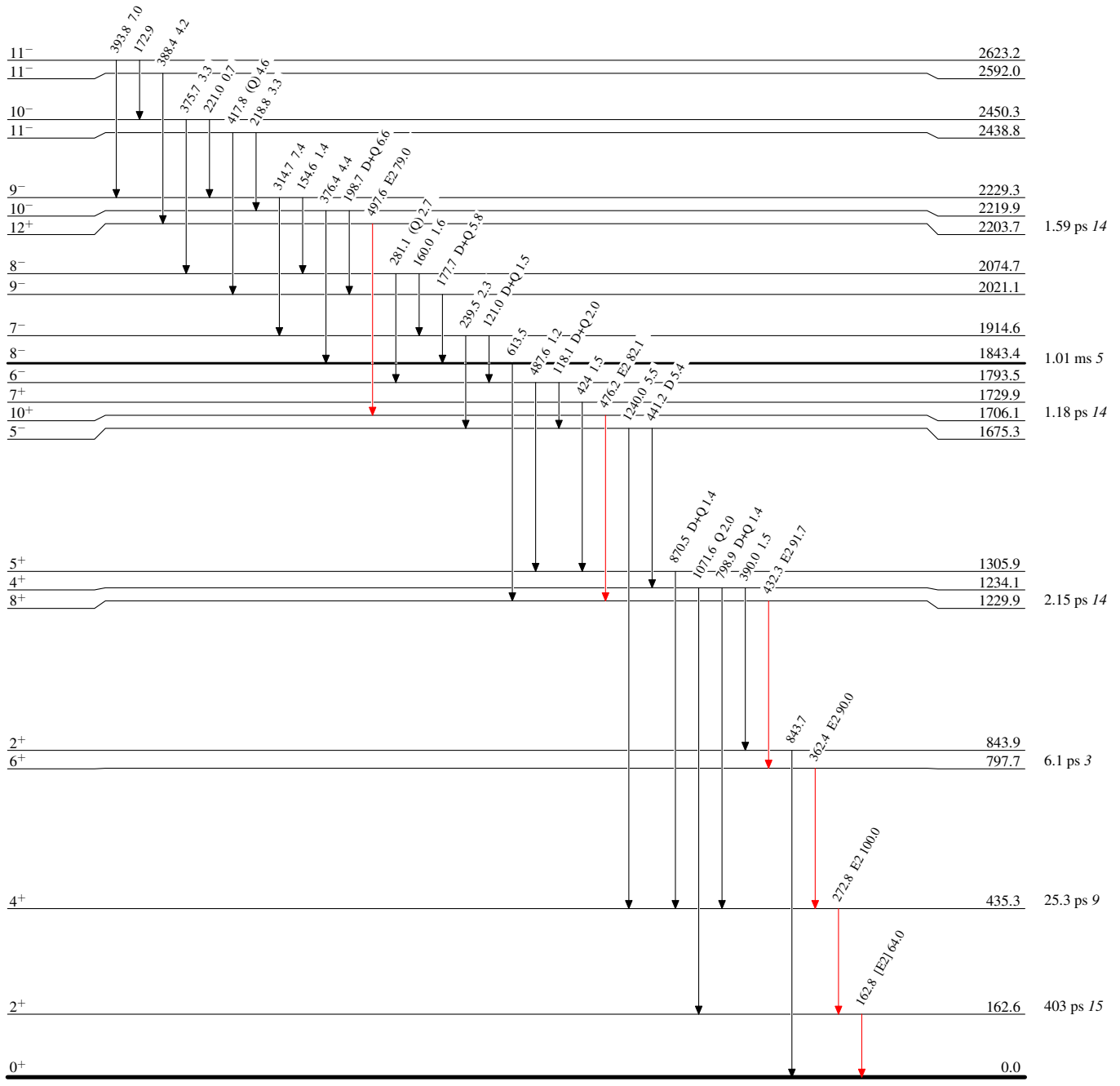
$^{154}\text{Sm}(^{34}\text{S},4\text{n}\gamma), ^{172}\text{Yb}(^{16}\text{O},4\text{n}\gamma)$  1990Ca22, 1987Ri04, 1986Ga21

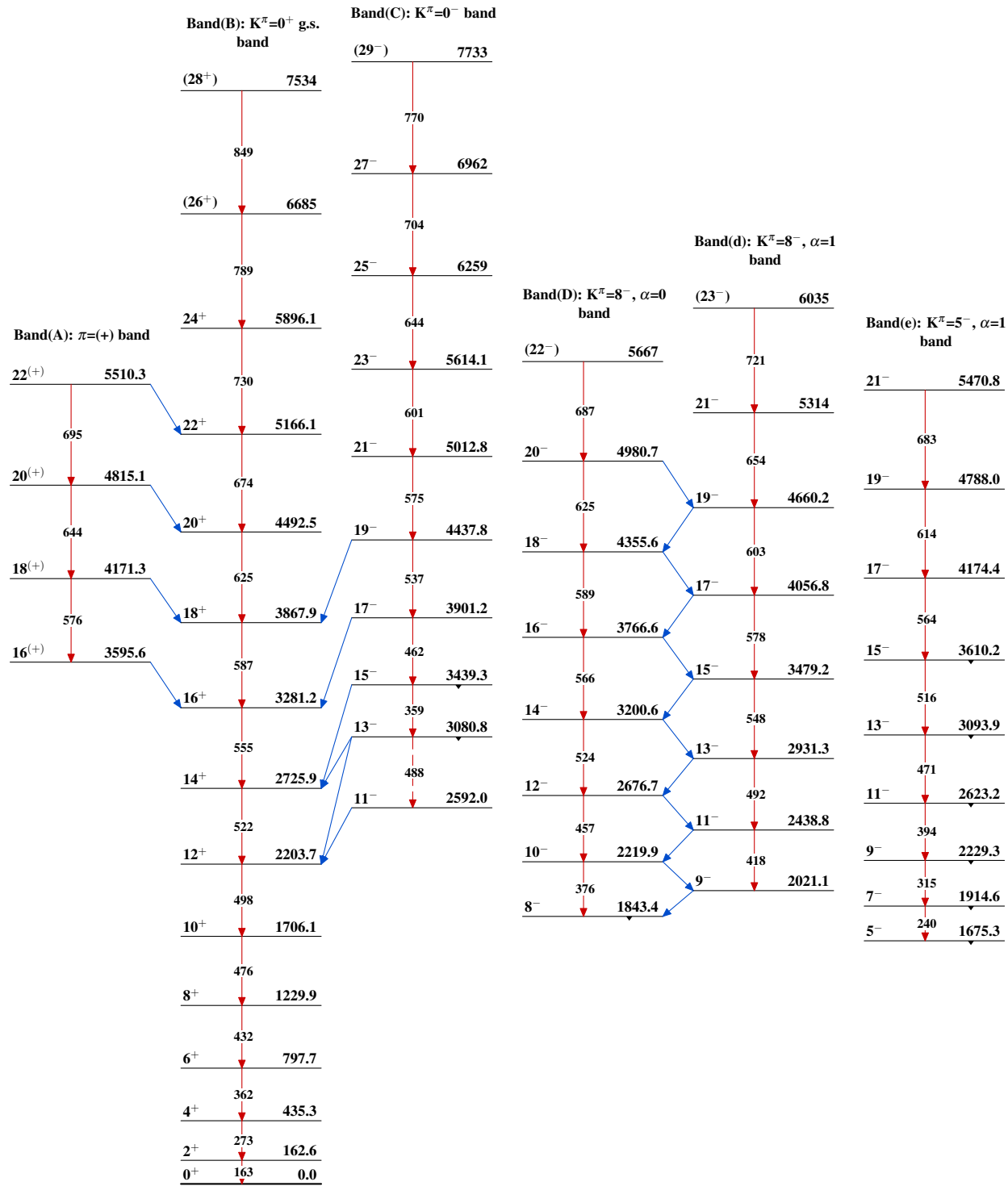
## Legend

## Level Scheme (continued)

Intensities: Relative  $I_\gamma$  from  $^{154}\text{Sm}(^{34}\text{S},3\text{n}\gamma)$ ,  $E=163$  MeV

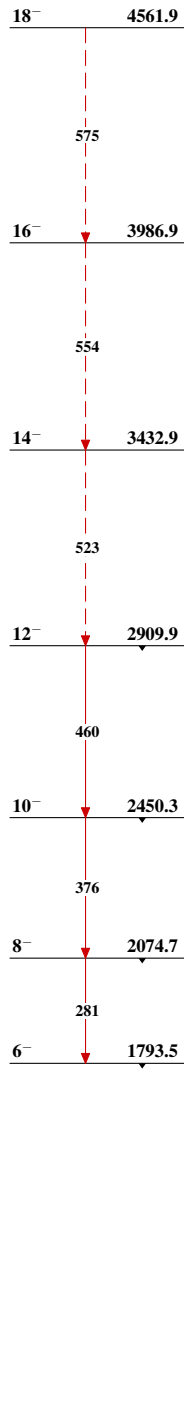
- $I_\gamma < 2\% \times I_{\gamma}^{\max}$
- $I_\gamma < 10\% \times I_{\gamma}^{\max}$
- $I_\gamma > 10\% \times I_{\gamma}^{\max}$



$^{154}\text{Sm}(^{34}\text{S},4\text{n}\gamma), ^{172}\text{Yb}(^{16}\text{O},4\text{n}\gamma) \quad 1990\text{Ca22,1987Ri04,1986Ga21}$ 

$^{154}\text{Sm}({}^{34}\text{S}, 4\text{n}\gamma), {}^{172}\text{Yb}({}^{16}\text{O}, 4\text{n}\gamma)$  1990Ca22, 1987Ri04, 1986Ga21 (continued)

Band(E):  $K^\pi=5^-$ ,  $\alpha=0$   
band



Band(G):  $K^\pi=2^+$   
 $\gamma$ -vibrational band



Band(F):  $K^\pi=0^+$  band

